

Rekonstrukce izoploch

© 1996-2015 Josef Pelikán, CGG MFF UK Praha

<http://cgg.mff.cuni.cz/~pepca/>

pepca@cgg.mff.cuni.cz



Rekonstrukce izoploch

- ♦ výpočet a zobrazení jedné nebo více **izoploch**
 - prahové hodnoty zadává uživatel
 - aproximace izoplochy sítí rovinných plošek
- ♦ **neprůhledné kostky** („cuberille”)
 - Herman: 1979
- ♦ **napojování izočar** („contour connecting”)
 - Keppel: 1975, Fuchs: 1977, Ekoule: 1991
- ♦ **pochodující kostky** („marching cubes”)
 - Lorensen: 1987



Definice izoplochy

- ♦ užší smysl pojmu: množina bodů, na kterých funkce $\mathbf{f}(\mathbf{x}, \mathbf{y}, \mathbf{z})$ nabývá dané hodnoty \mathbf{h}_0 :

$$Izo(h_0) = \{ [x, y, z] \mid f(x, y, z) = h_0 \}$$

- ♦ zobecněná izoplocha: stačí, když v každém okolí bodu $\mathbf{B}(\mathbf{x}, \mathbf{y}, \mathbf{z}; \epsilon)$ jsou hodnoty větší i menší než práh \mathbf{h}_0 :

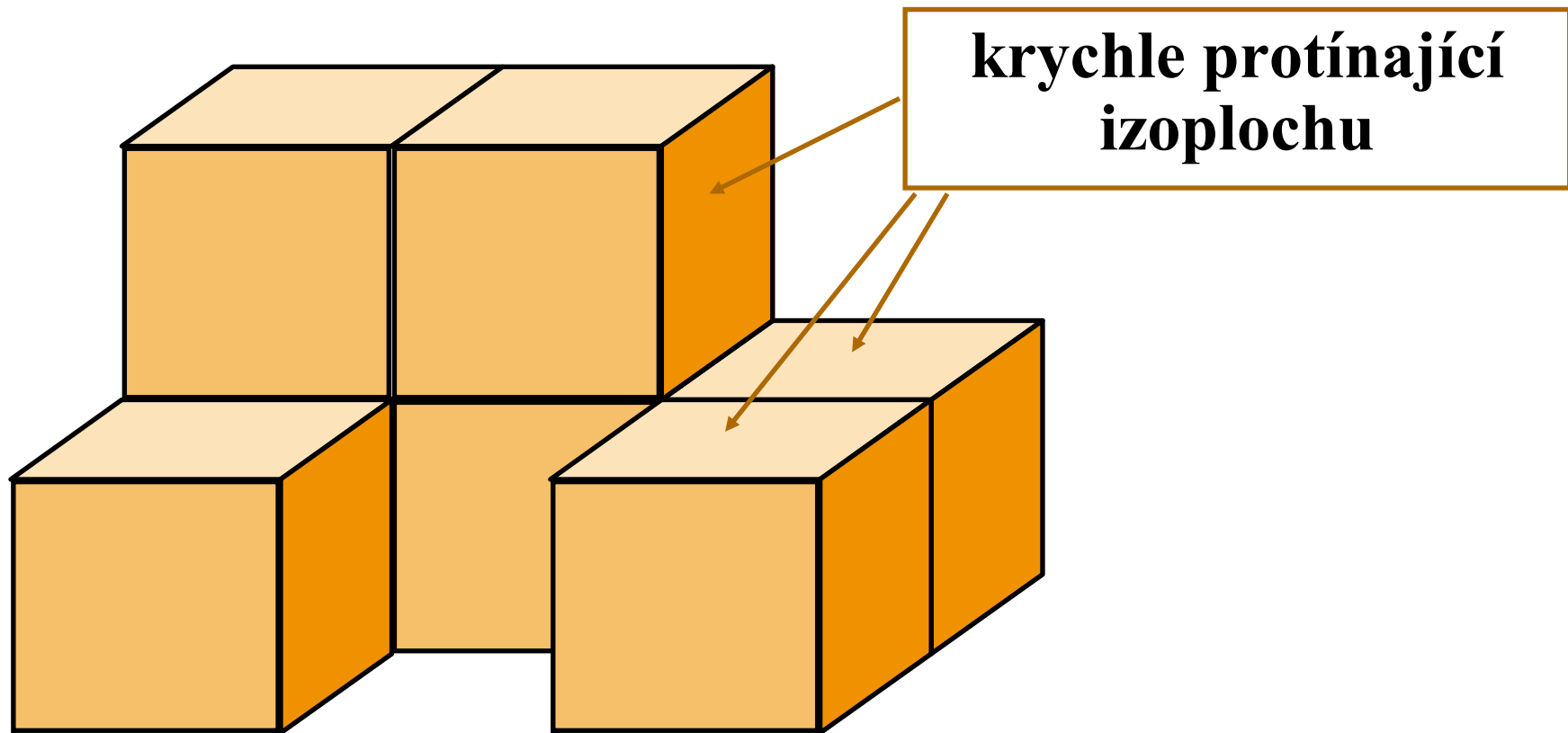
$$Izo(h_0) = \{ [x, y, z] = P \mid \forall \epsilon > 0 \min_{B(P; \epsilon)} f < h_0 \leq \max_{B(P; \epsilon)} f \}$$



Neprůhledné kostky („cuberille“)



$$\min\{V(P_{ijk})\} \leq \underline{h} < \max\{V(P_{ijk})\}$$



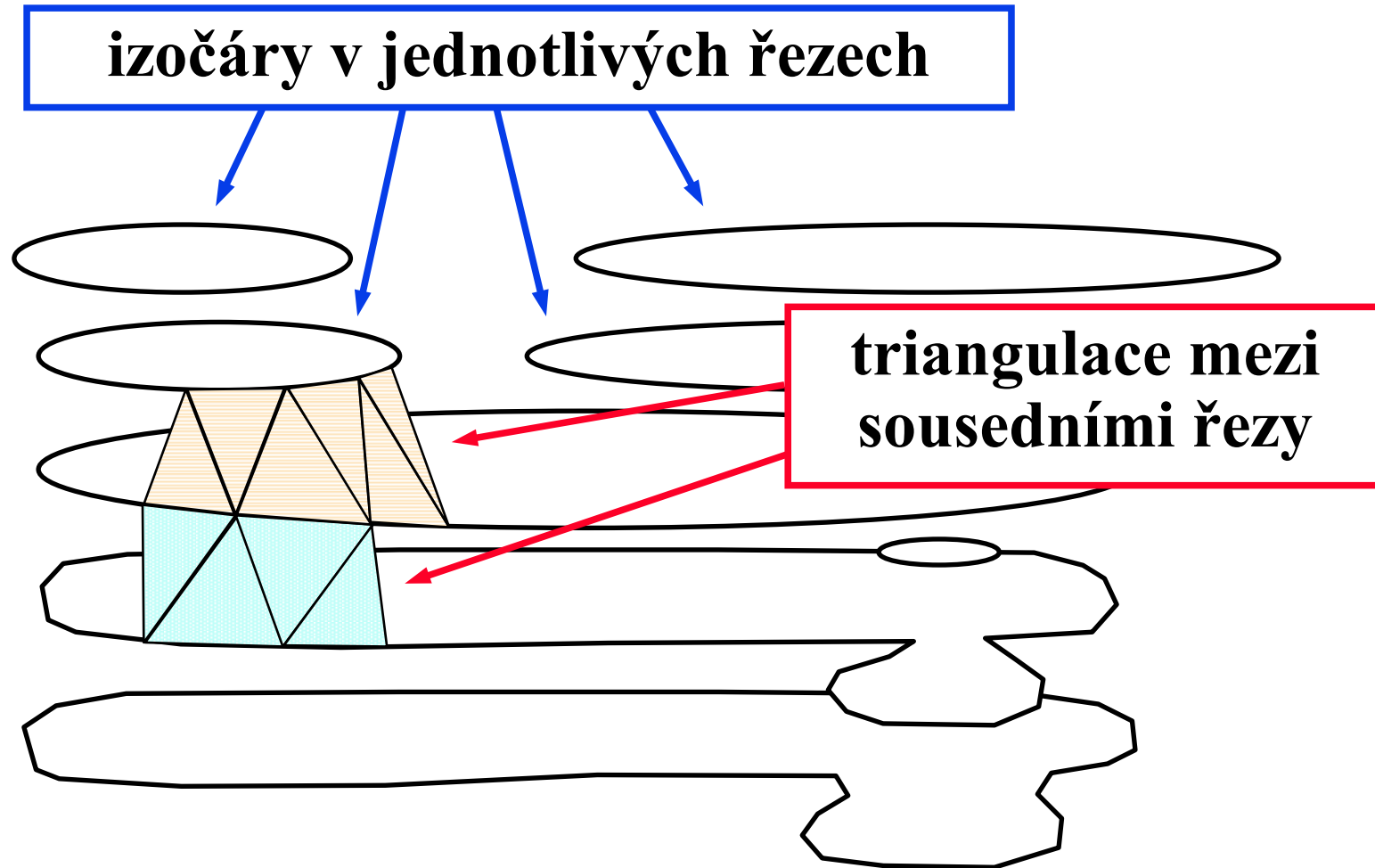
Neprůhledné kostky



- ◆ zobrazení krychlí, které protínají **zadanou izoplochu**
 - podle směru pohledu stačí kreslit pouze tři stěny krychle
- aproximace je příliš **hrubá** (plocha je hranatá)
 - lepší vzhled - **spojité stínování** gradientní metodou (hranaté okraje však zůstávají)
- současné zobrazení **několika izoploch**
 - technika poloprůhledných ploch (kanál alfa)



Napojování izočar



Napojování izočar



- ① **výpočet izočar** v jednotlivých řezech
 - izočára se reprezentuje jako lomená čára
 - jeden řez může obsahovat několik uzavřených smyček izočáry

- ② **triangulace izoplochy** mezi dvěma řezy
 - trojúhelníky by neměly být příliš protáhlé
 - **topologicky obtížné situace**: několikanásobné větvení (**1:N, M:N**), nejednoznačné přiřazení napojovaných izočar

Triangulace (Ekoule, Peyrin, Odet)

- ◆ **vlastnosti:**
 - vstupní izočáry mohou mít libovolné tvary
 - generuje dobře vypadající trojúhelníky (nepoužívá dlouhé hrany)
 - uspokojivě řeší větvení **1:N** i **M:N**
- rozdělení na několik geometricky/ topologicky odlišných **případů:**
 - konvexní napojení **1:1**
 - nekonvexní napojení **1:1**
 - větvení **1:N** a **M:N**

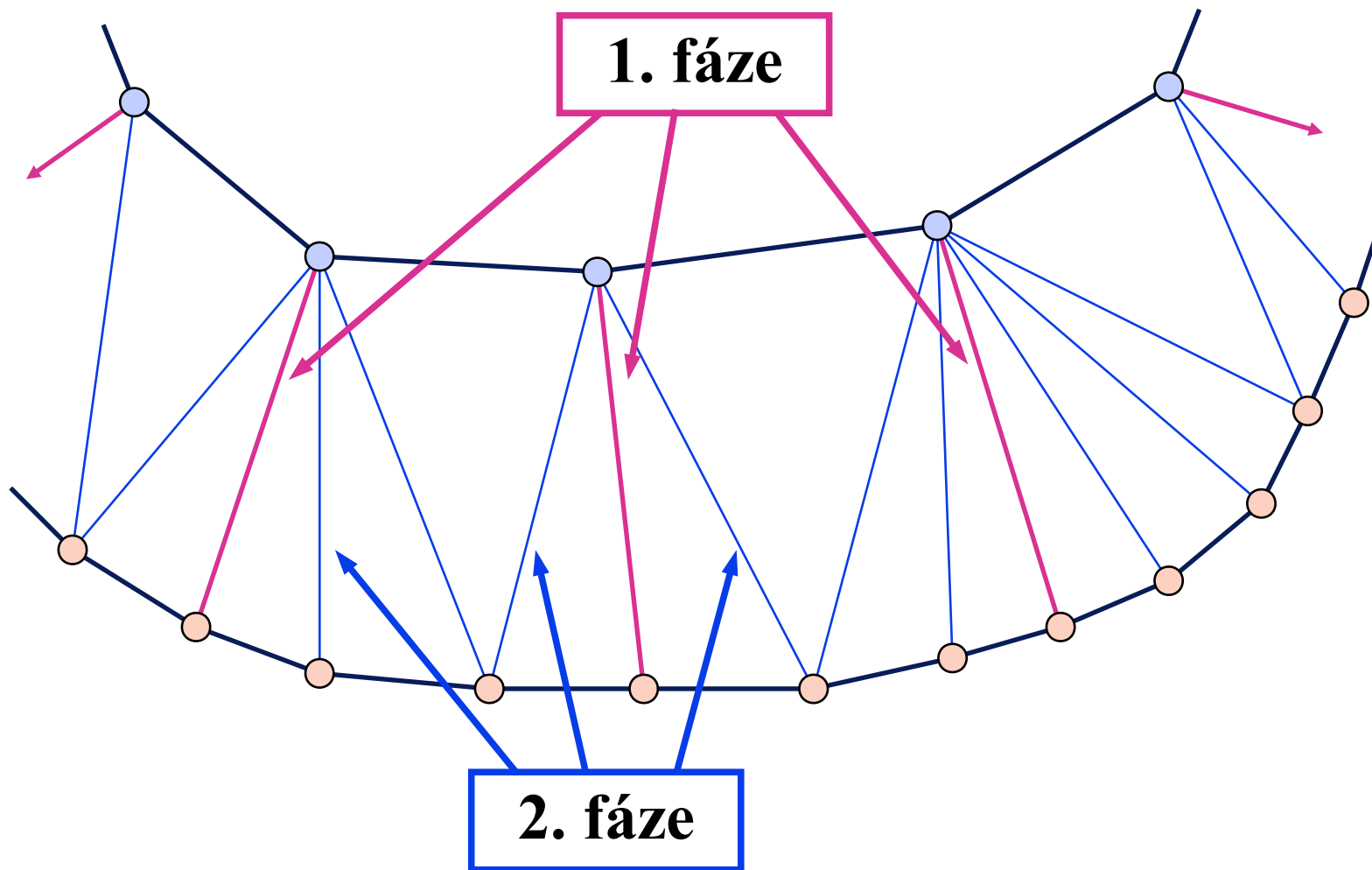


Konvexní napojení 1:1

- ① pro izočáru s **menším počtem vrcholů**: každý vrchol se spojí s nejbližším bodem naproti
 - efektivní algoritmus pracuje inkrementálně - hledá nejbližšího souseda v okolí naposledy přiřazeného vrcholu

- ② zbývající vrcholy z **druhé izočáry** se spojí s nejbližšími protějšky
 - některé vrcholy se musí spojit se dvěma protějškými body (aby vznikla triangulace)

Konvexní napojení 1:1

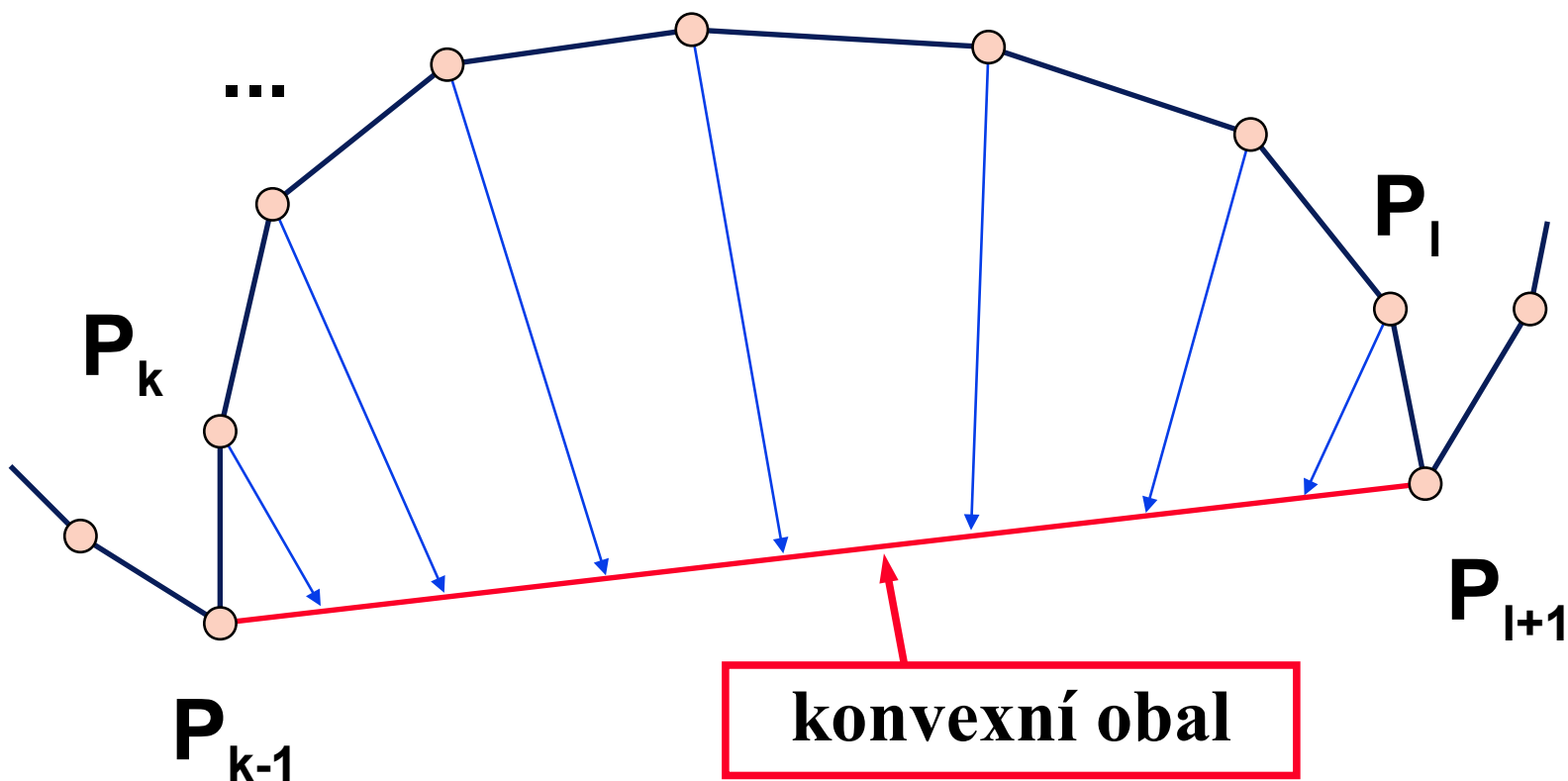


Transformace nekonvex. izočar

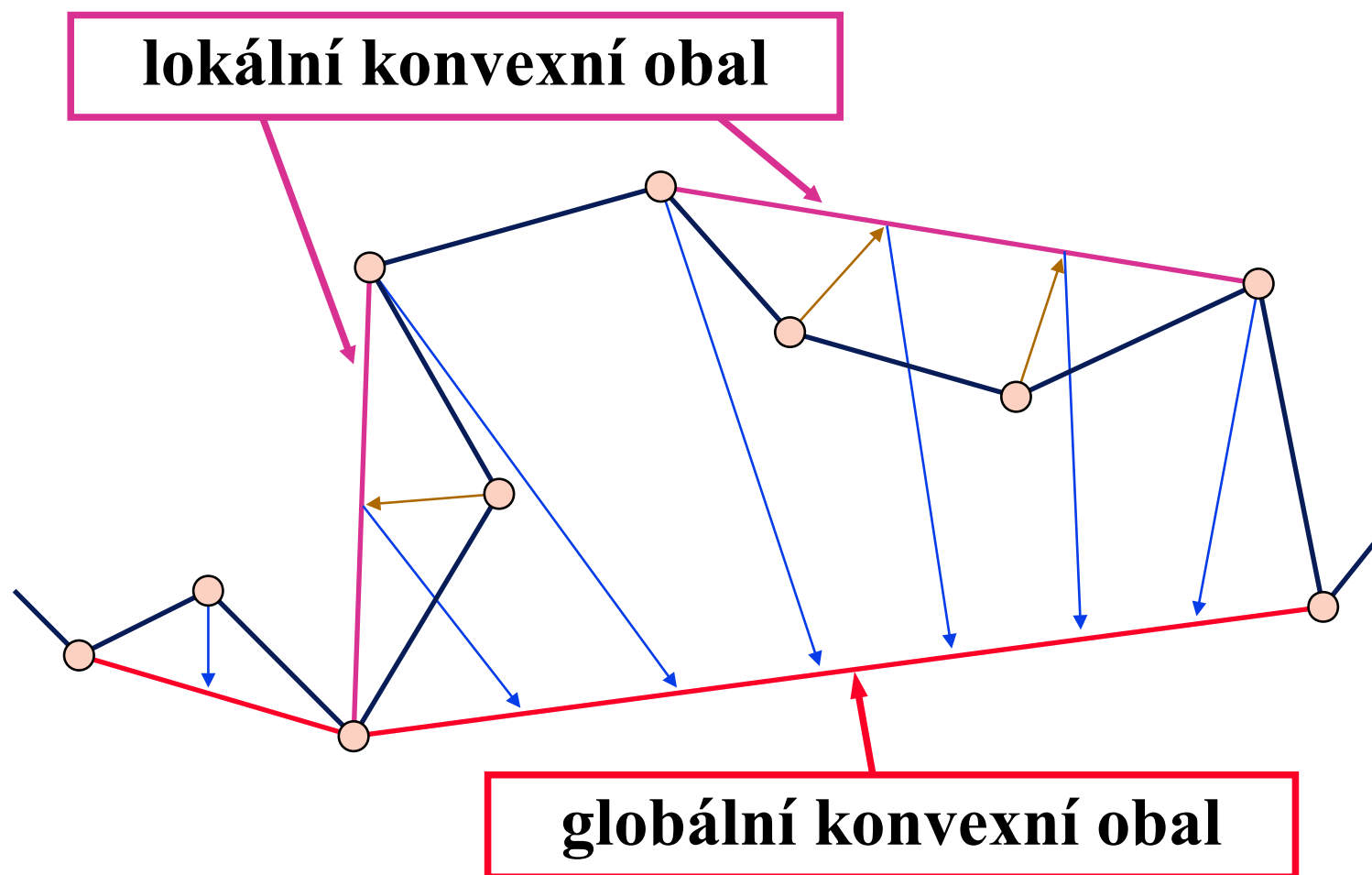


- ◆ přenášení vrcholů z nekonvexních úseků na **konvexní obal izočáry**
 - hypotéza: konvexní obaly dvou sousedních izočar si budou více podobné
 - přenášením se zachovává pořadí i relativní vzdálenosti vrcholů
- ◆ **triangulace** se provádí na konvexních obalech
 - hranami se potom spojí původní vrcholy izočar

Jednoduchý konkávní výběžek



Složitější nekonvexní izočára





Hierarchická transformace

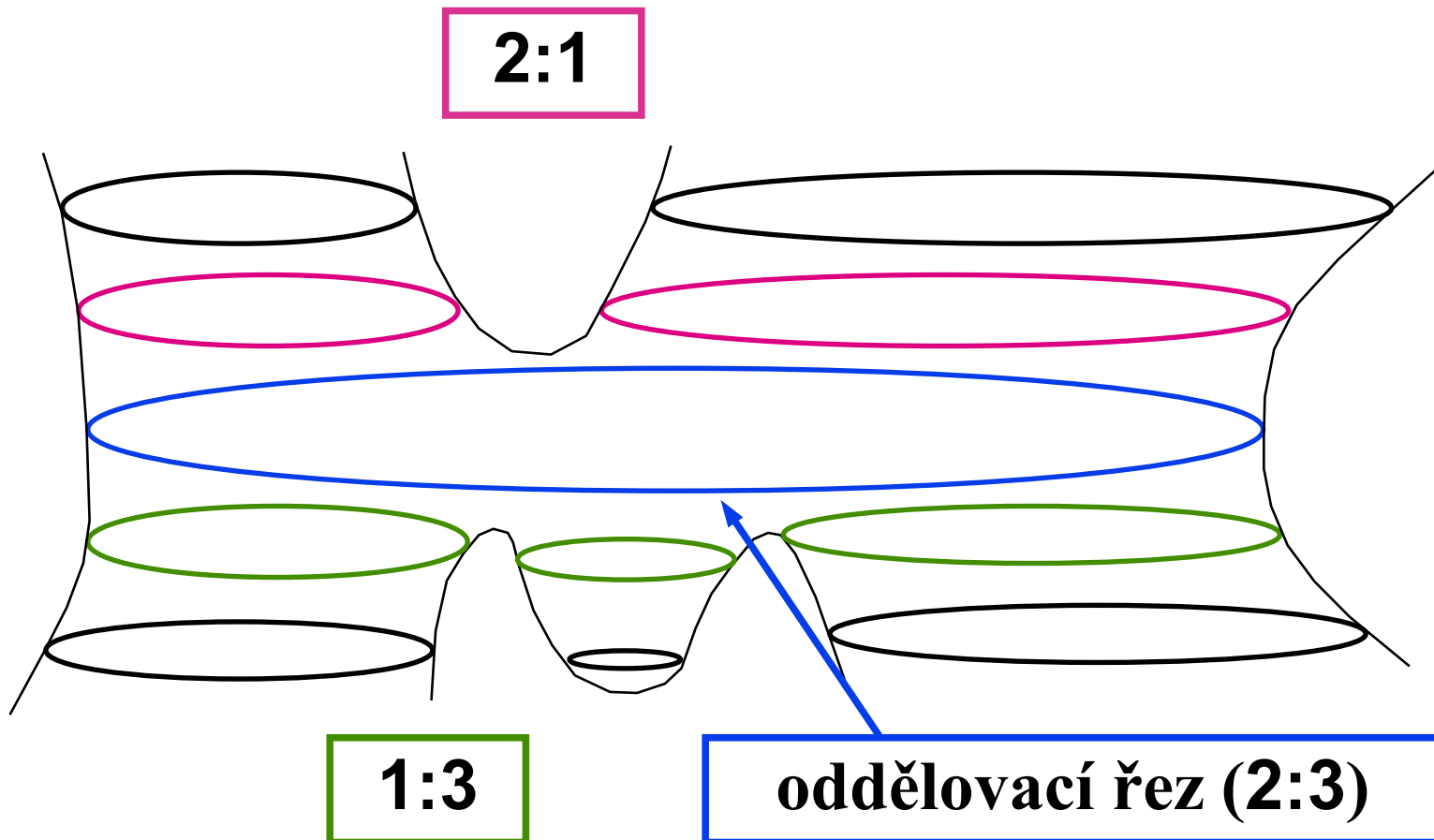
- ◆ převádí obecný mnohoúhelník na **konvexní**
 - zachovává **počet vrcholů** i jejich **relativní vzdálenosti**
 - rekurentní formulace (hierarchický rozklad mnohoúhelníka):
- transformace lomené čáry $P_i \dots P_j$:
 - na začátku se bere celý mnohoúhelník $P_1 \dots P_N$
- ① výpočet **konvexního obalu** (i,j)
 - vrcholy ležící v konvexním obalu se nepřesunují



Hierarchická transformace

- 2 pro každou posloupnost vrcholů $P_k \dots P_l$ ($k \leq l$) neležících v konvexním obalu (i,j) se provedou následující kroky:
- 3 přenesení vrcholů lomené čáry $P_{k-1} \dots P_{l+1}$ do jejího konvexního obalu $(k-1, l+1)$
 - rekurentní vyvolání popisovaného algoritmu
- 4 přenesení vrcholů P_k až P_l na úsečku $P_{k-1}P_{l+1}$
 - body P_{k-1} a P_{l+1} již leží v konvexním obalu (i,j)
 - zachování relativních vzdáleností sousedů

Větvení 1:N a M:N

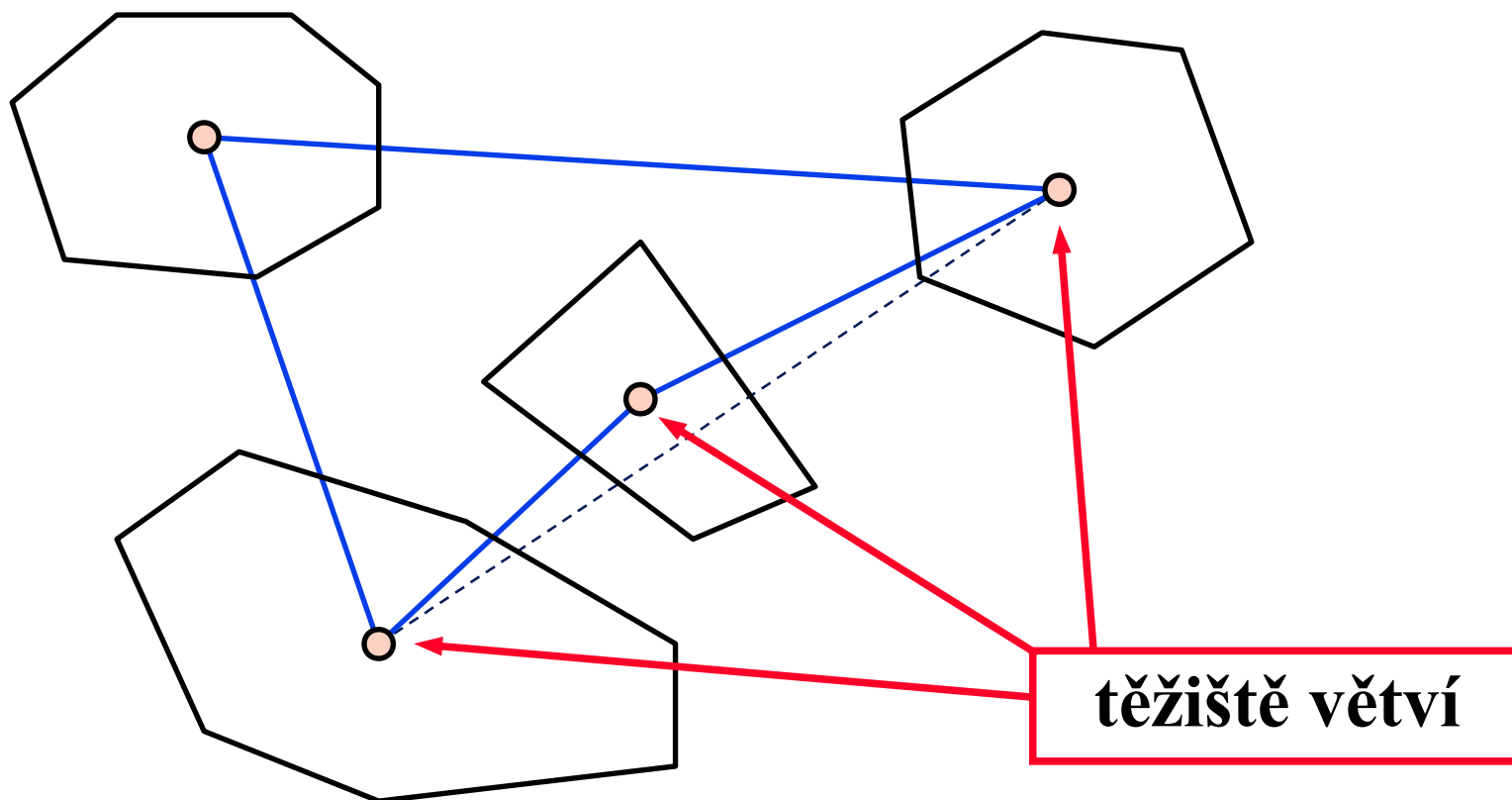




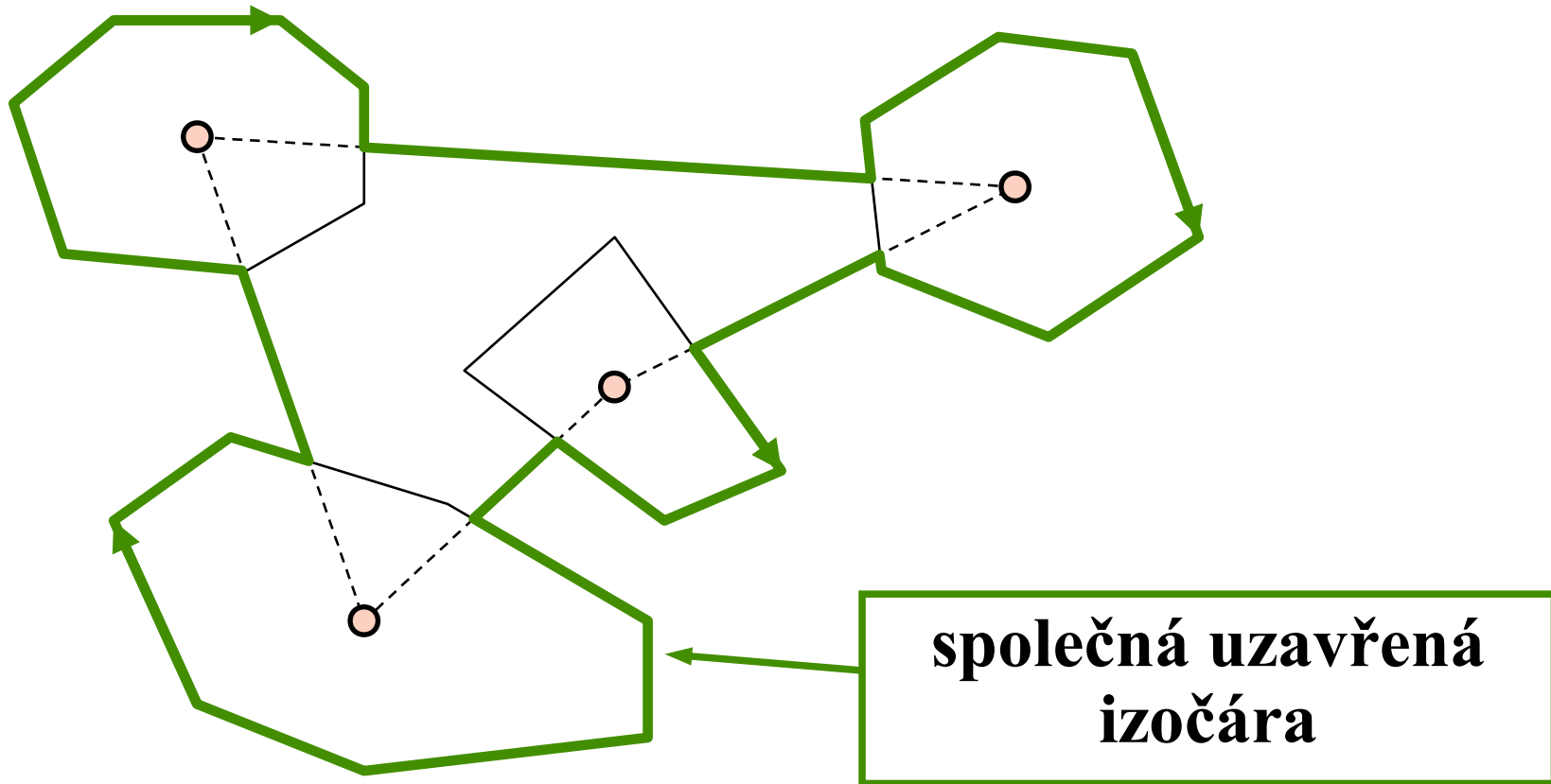
Větvení 1:N

- ◆ spočítám **pomocnou izočáru** v polovině mezi oběma řezy
 - konstrukce společné uzavřené izočáry pokrývající všechny spojované větve
 - interpoluje se pomocí prvního kroku algoritmu napojování **1:1**
- ◆ **N-krát** aplikuji napojení **1:1** mezi každou větví a pomocnou izočárou
 - + doplním příp. rovinnou triangulaci

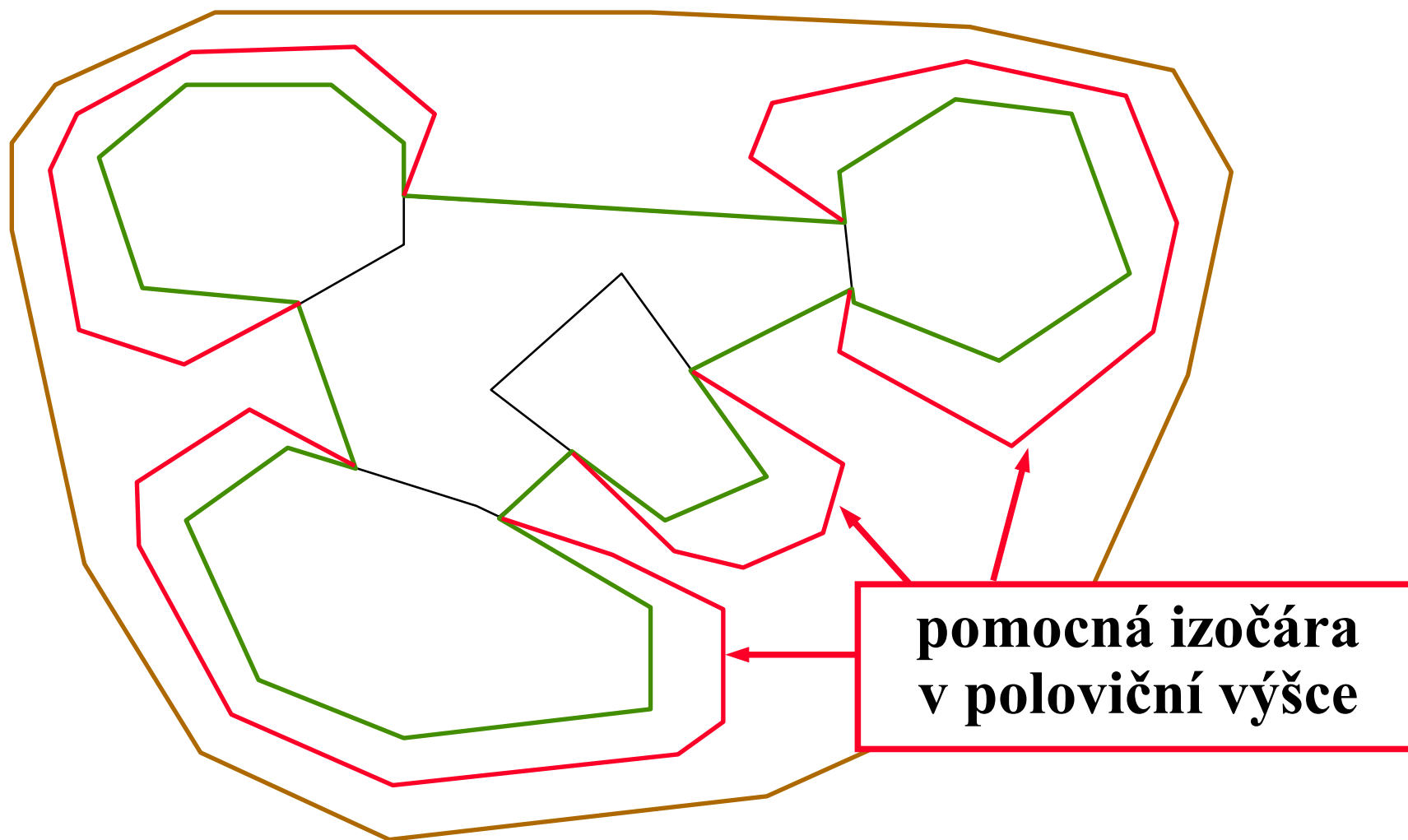
Společná uzavřená izočára



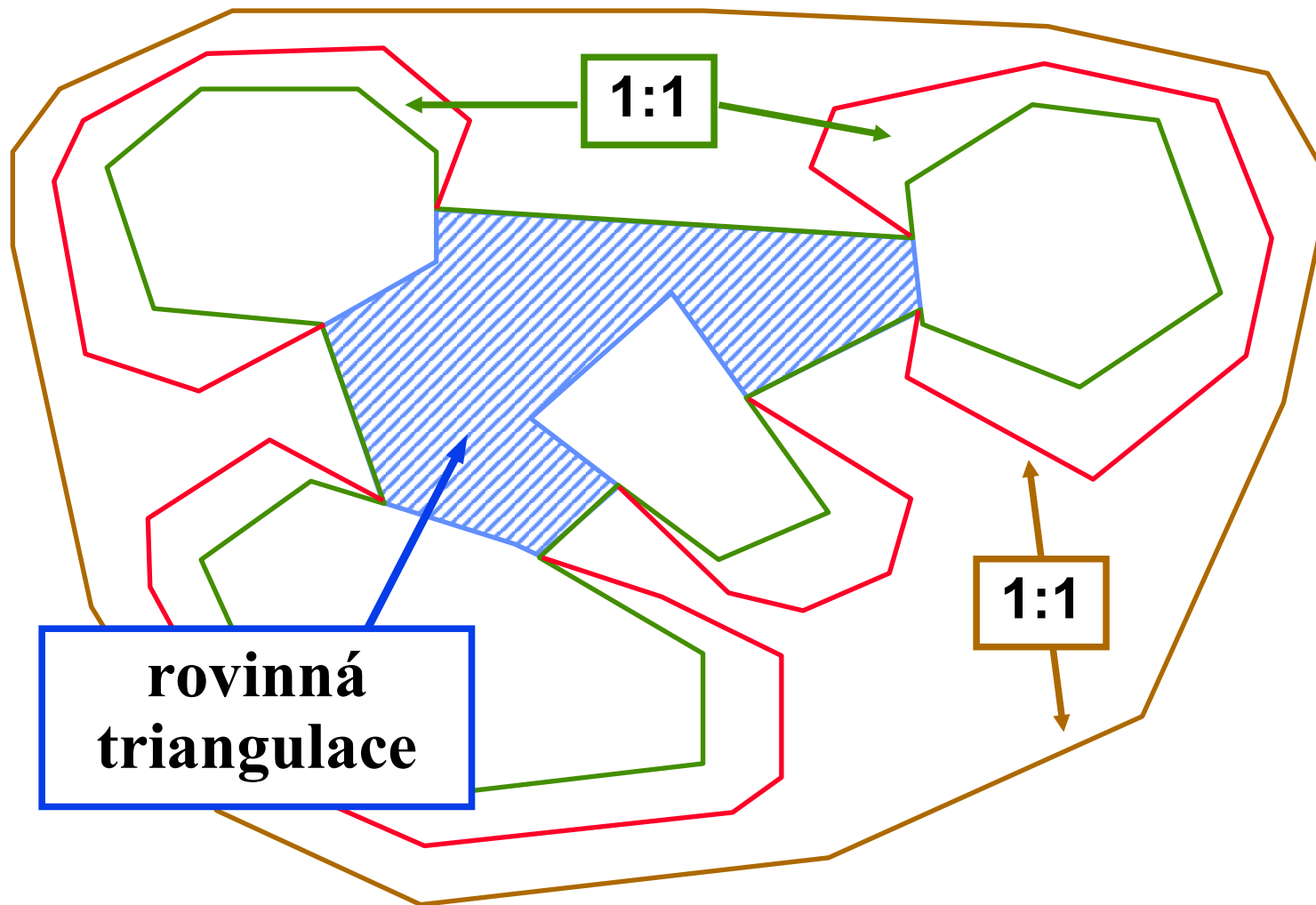
Společná uzavřená izočára



Pomocná izočára



Triangulace



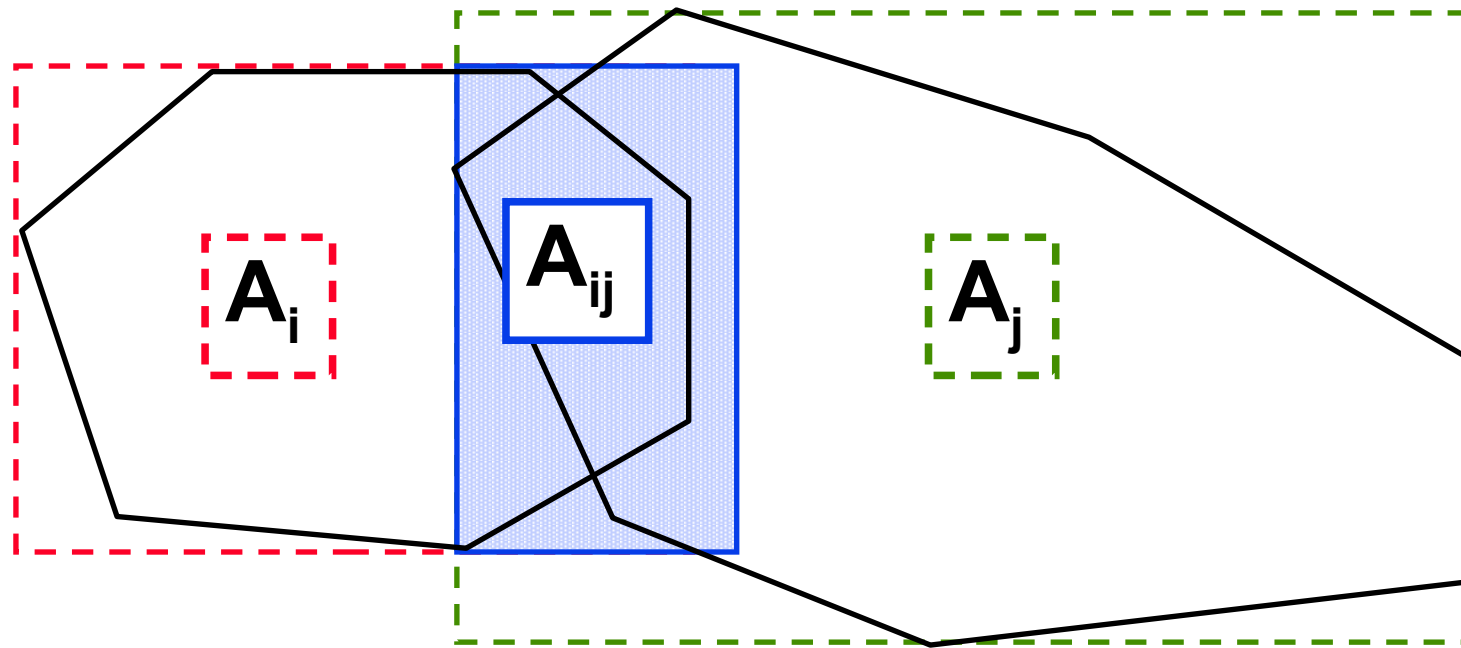
Přiřazování větví soused. řezů



- ◆ **automatická procedura** rozhodující o tom, které větve dvou sousedních řezů se napojí
 - jednotlivé komponenty 3D tělesa se mohou v řezech posunovat, měnit tvar nebo rozvětlovat
 - předpokládáme dostatečně tenké řezy (vylučující variantu větvení **M:N**)
- spojení dvou řezů se zredukuje na několik napojení typu **1:1** a **1:N**



Stupeň překrytí dvou izočar



A_{ij} ... přibližná plocha průniku

Koeficient překrytí z $[0, 1]$:
$$S_{ij} = \frac{1}{2} \left(\frac{A_{ij}}{A_i} + \frac{A_{ij}}{A_j} \right)$$

Automatické přiřazování větví

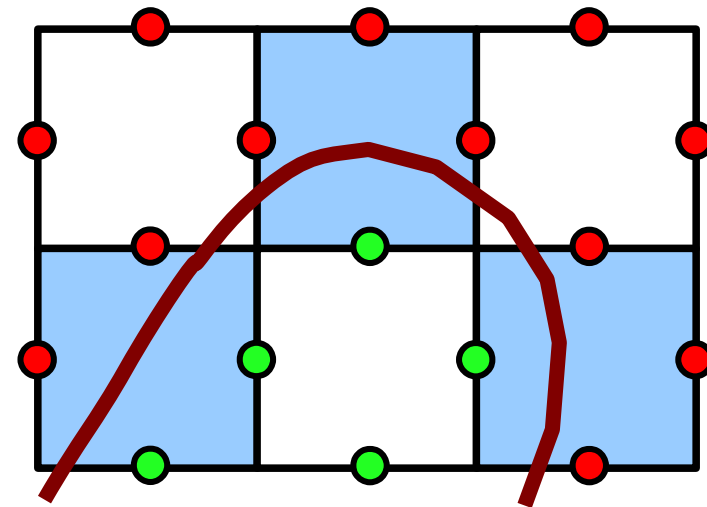


- vhodná **napojovací úroveň c** zadává bipartitní graf přiřazení větví
 - $S_{ij} > c \Rightarrow$ hrana (i,j)
- při **dostatečně hustém vzorkování** nedochází k větvení **M:N**
 - v grafu by to ukazovala existence trojice hran (i,j) , (k,j) a (k,l) pro $i \neq k$ a $j \neq l$
- přípustné kombinace odpovídají **napojení 1:1** a **větvení 1:N**



Kreslení izočar v rovině

- Pelikán 1992
- vstupem je reálná funkce na spojitém prostoru $f(x,y)$
 - diskrétní data se mohou interpolovat/aproximovat
- cílem je nakreslit izočáru v rastrovém prostředí s **pixelovou přesností**
 1. vyhledávání izočar
 2. trasování izočar



Izočáry v rovině – vyhledávání

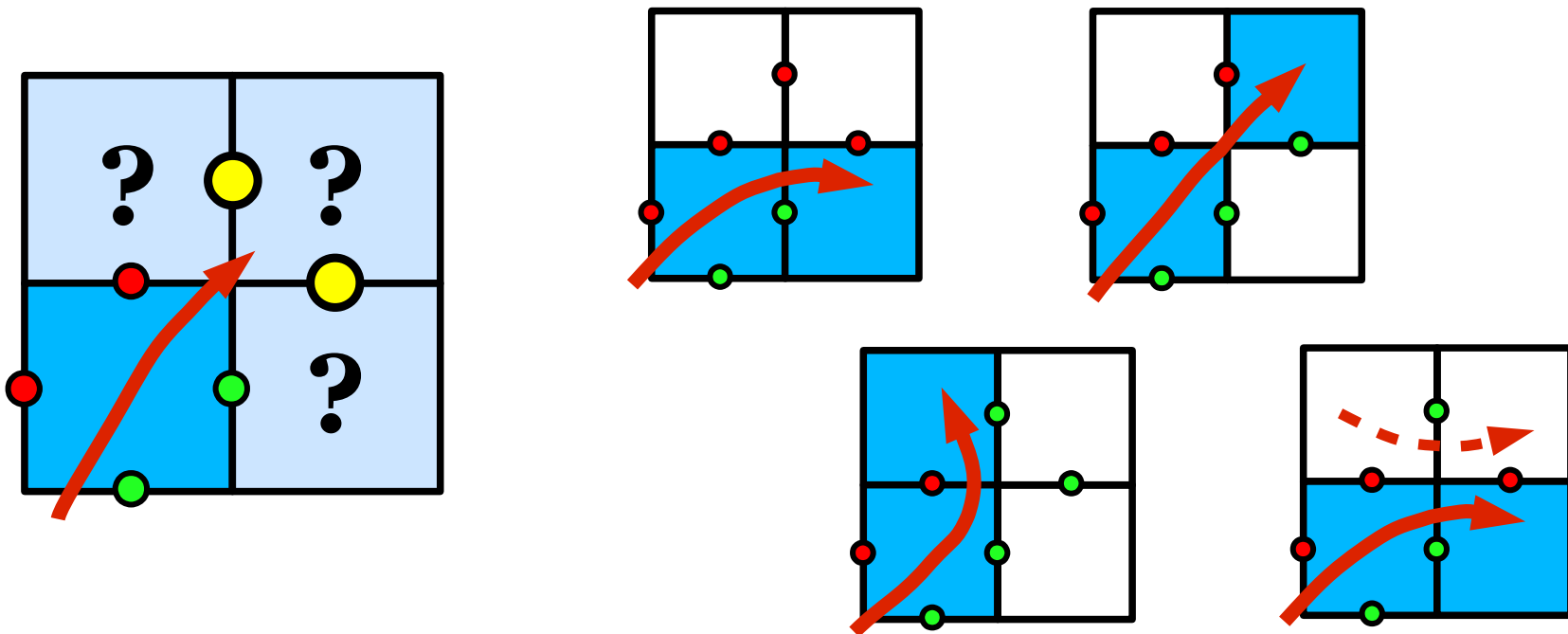


- **„sonda”**
 - **čtyři body uprostřed stran** čtverce (buňky, pixelu)
(jiný přístup: čtyři rohy čtverce)
- **vyhledávání** izočar
 - průchod mřížkou nebo stromem
 - hledám buňky (pixely) s rozdílnou hodnotou „sondy”
- **urychlování**
 - pro kreslení soustavy více izočar
 - intervalový strom (quadtree nebo „9-tree”)



Izočáry v rovině – trasování

- přechod z aktuálního pixelu izočáry do sousedního
 - konečný počet možností (kombinatorika)
 - již zpracované pixely se značkují(... spolupráce s vyhledávacím mechanismem ...)





Vektorové izočáry v rovině

- např. vstup pro napojovací alg. (Ekoule)
 - izočára = lomená čára
- **modifikovaný** rastrový algoritmus → generalizace výsledku na lomenou čáru
 - každý k-tý pixel → vrchol
 - podle křivosti čáry (větší křivost → hustší vrcholy)
- **jemnost** hledání a trasování izočar
 - podle požadované přesnosti výsledku
 - souřadnice vrcholů mohou být dopočítány přesněji (dělení čtverce: q-tree, 9-tree)

„Pochodující kostky” (Lorenzen)



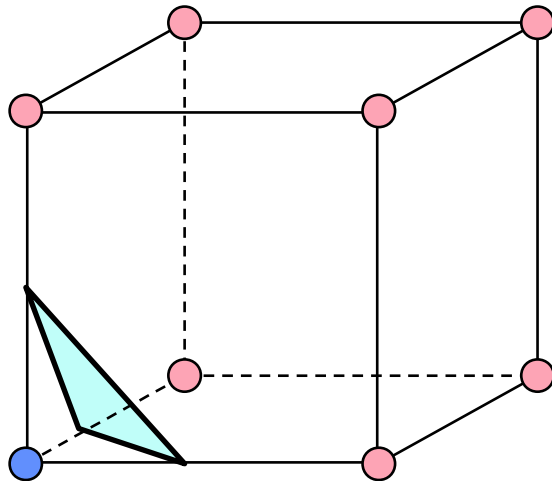
- ◆ **jeden z nejpoužívanějších algoritmů**
 - + jednoduchá implementace (i HW)
 - + generované trojúhelníky nemají dlouhé hrany
 - velké množství trojúhelníků (i menších než 1 pixel)
 - mohou se objevit drobné chyby v napojení
- generuje **síť trojúhelníků** v každé buňce
 - topologie - podle konfigurace vrcholů buňky
 - vrcholy sítě leží na hranách buňky
- snadno se implementuje **gradientní stínování**

Konfigurace vrcholů buňky

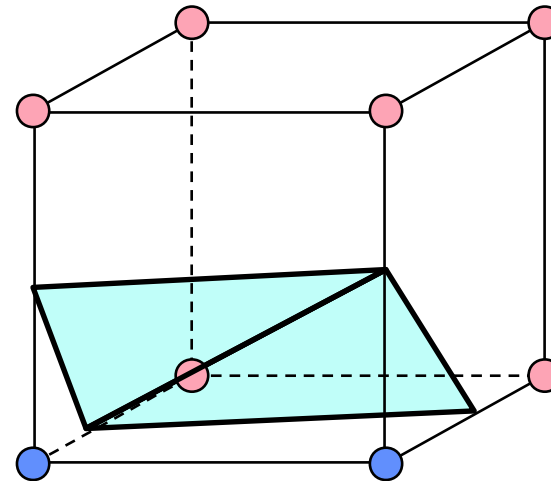


Celkem **14 základních kombinací** (ostatních 240 dostanu pomocí symetrií a otáčení)

1



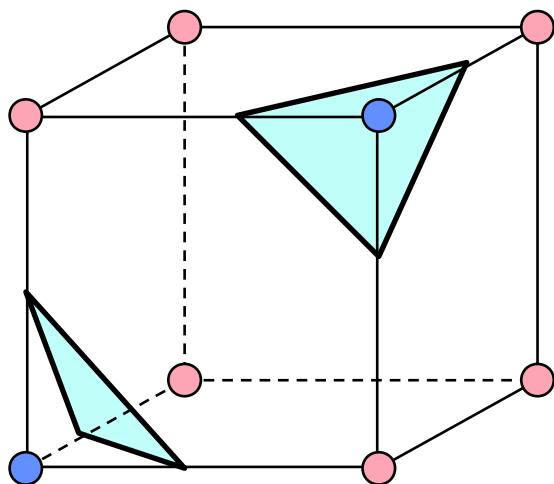
2



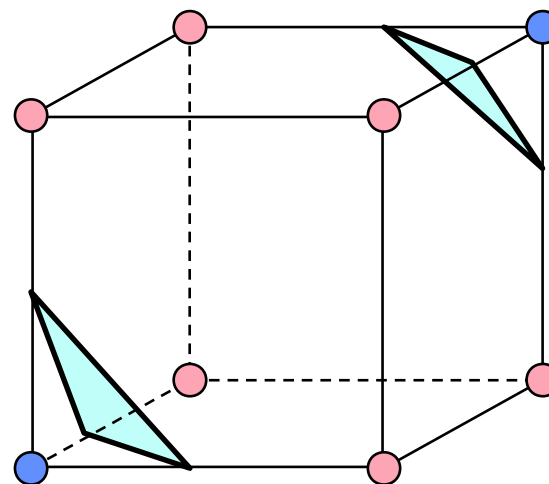
Konfigurace 3-6



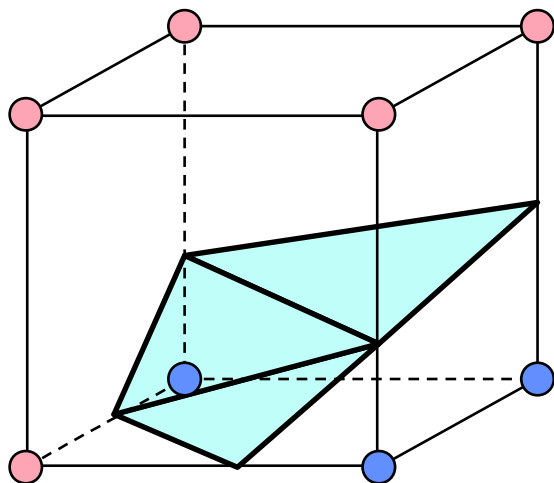
3



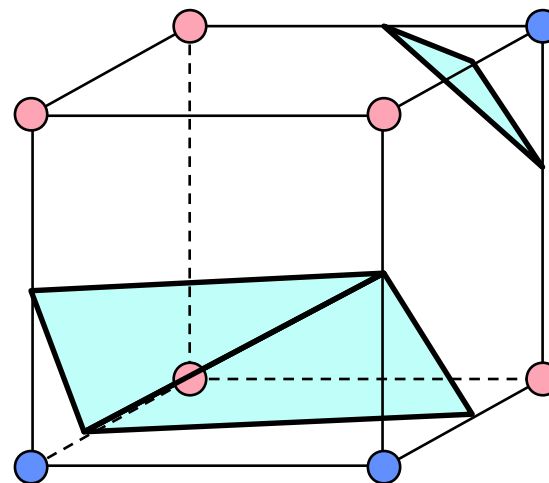
4



5



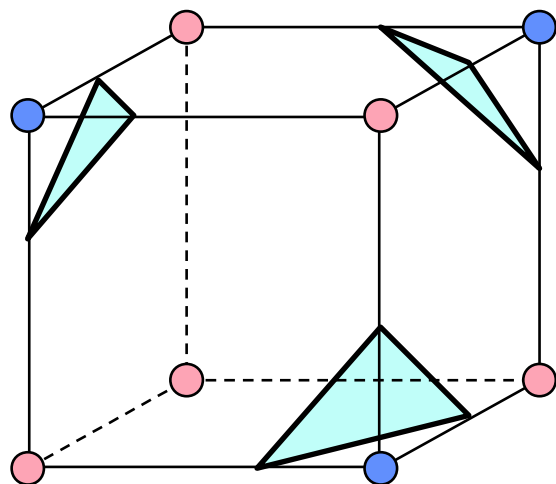
6



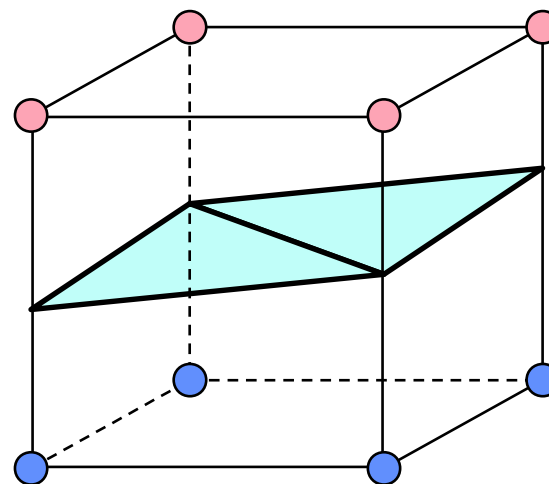
Konfigurace 7-10



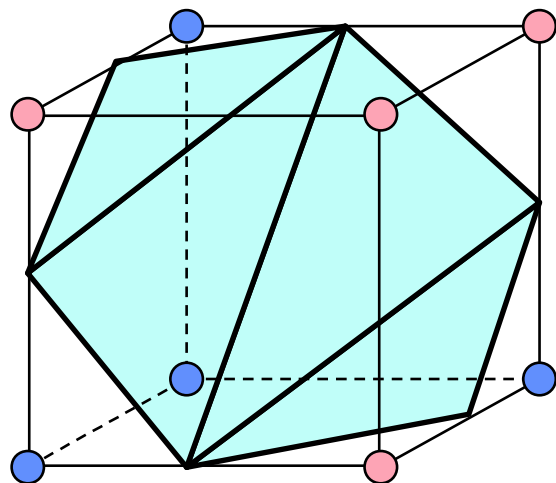
7



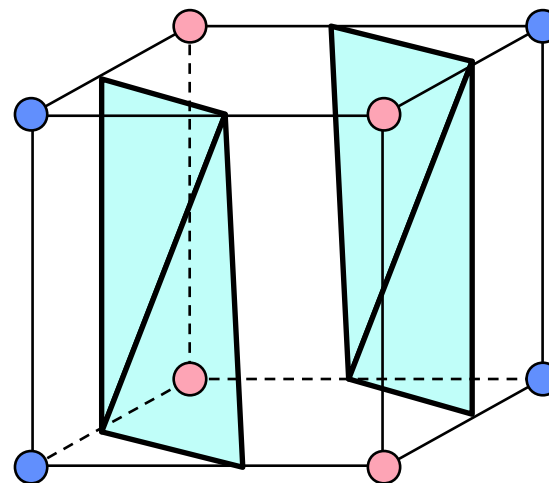
8



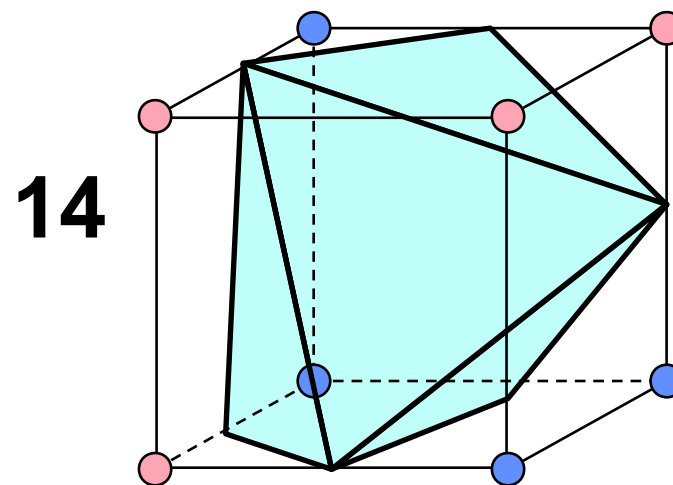
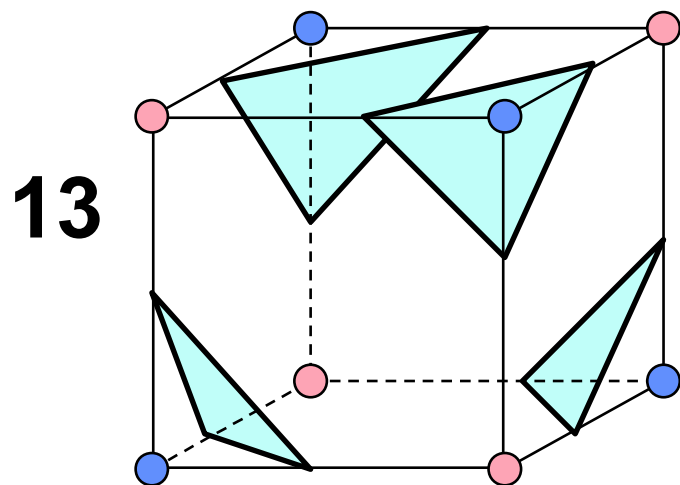
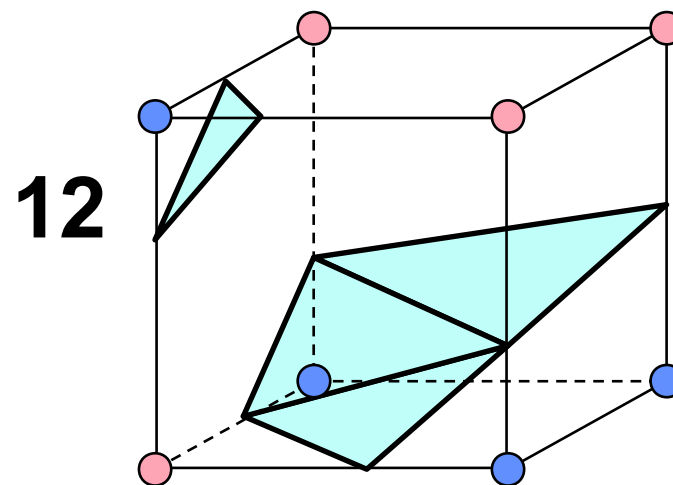
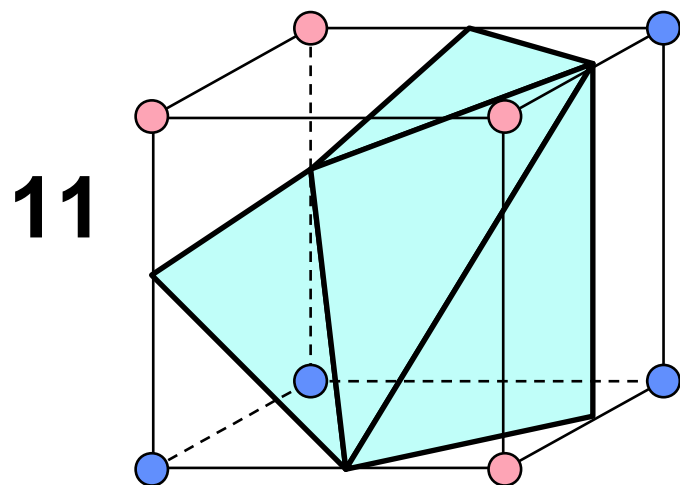
9



10



Konfigurace 11-14



Základní algoritmus



- 1 **4 sousední řezy** se načtou do paměti
- 2 pro každou buňku mezi dvěma prostředními řezy se spočítá síť:
- 3 podle konfigurace hodnot ve vrcholech buňky se z **tabulky** přečte topologie sítě
 - informace o vrcholech a hranách trojúhelníků
- 4 vrcholy sítě se spočítají **lineární interpolací** podle hodnot ve vrcholech buňky

Základní algoritmus



...

- ⑤ **normálové vektory** ve vrcholech buňky se spočítají pomocí diferencí a lineárně se pak interpolují do vrcholů sítě

- ⑥ **síť trojúhelníků** se stínováním se zapíše **na výstup**
 - předpokládá se HW podpora viditelnosti a Gouraudova stínování

Implementace, vylepšení



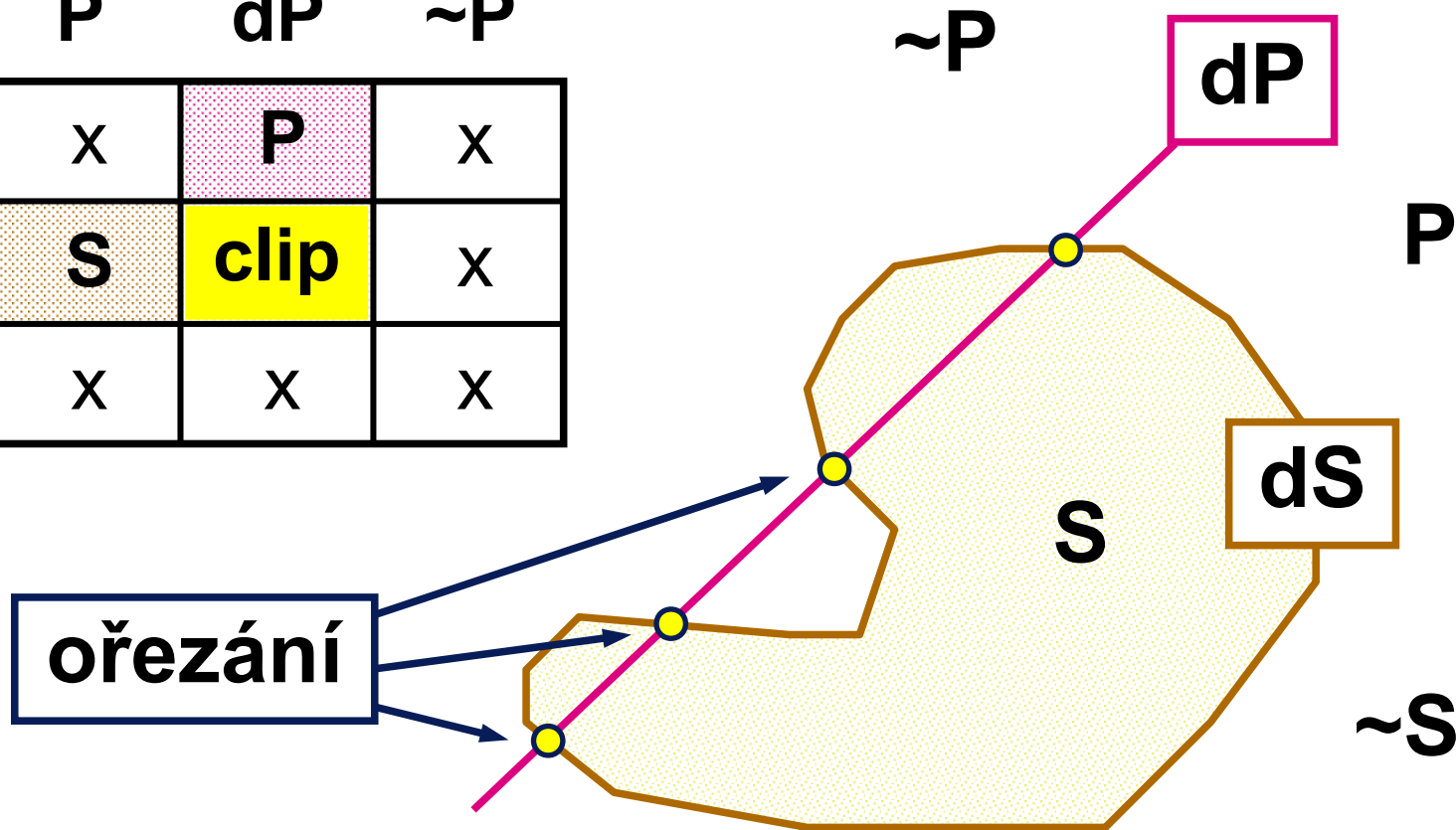
- spočítané **vrcholy sítě** a **normálové vektory** se ukládají do „cache” paměti
 - v sousedních buňkách se již nemusí počítat
- náhrada souvislé sítě trojúhelníků v buňce **jediným mnohoúhelníkem** (nerovinným)
 - průmět buňky je často malý (řádově několik pixelů)
 - větší efektivita při kreslení
- **množinové operace**, řezy rovinou
 - paralelně se provádí výpočet několika izoploch



Množinové operace

Tabulka pro průnik $P \cap S$:

	P	dP	$\sim P$
S	x	P	x
dS	S	clip	x
$\sim S$	x	x	x



„Dělení kostek“ (Cline 1988, patent)

- ♦ **efektivnější** varianta algoritmu (nekreslí polygony)
- každá **hraniční buňka** se před zpracováním **promítne**
 - důležitá je velikost projekce v pixelech
- buňky s plochou menší než 1 pixel se kreslí jako **povrchové body: [x,y,z, barva, průhlednost]**
 - Z-buffer (náhodné pořadí)
 - poloprůhledné body se musí třídit podle hloubky (implicitní pořadí dané průchodem)
- větší buňky se **rekurzivně dělí**

„Pochodující čtyřstěny“



- ◆ Bourke, 1994
- místo kvádrů se prostor rozdělí na **čtyřstěny**
 - použitelné i v obecnějších topologiích buněk
 - jednodušší kombinace uvnitř čtyřstěnu (jen 14 netrivi.)
 - v jednom čtyřstěnu: 1 až 2 trojúhelníky
- z pravidelné sítě vznikne **větší množství čtyřstěnů**
 - 5, 6 nebo 24 čtyřstěnů
 - 5 čtyřstěnů – kvůli spojitosti se musí hlídat i sousední buňky a přepínat mezi 2 konfiguracemi..

Urychlovací techniky

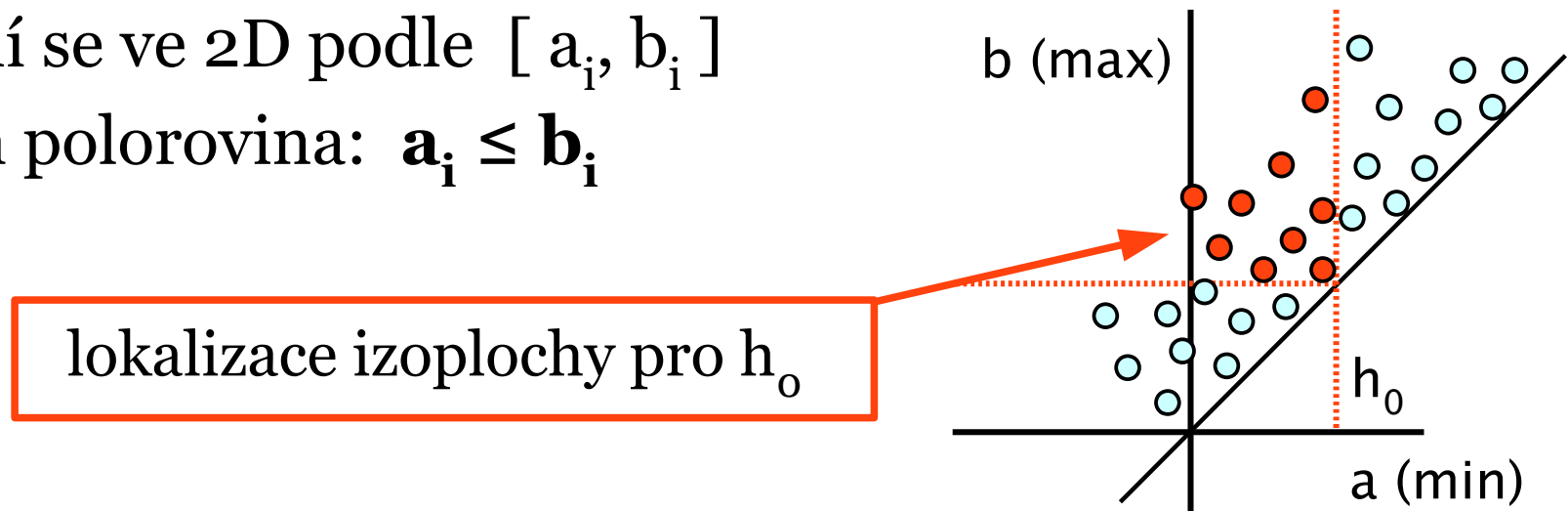


- ♦ metody založené na dekompozici **prostoru hodnot**
 - „span space”, intervalové stromy
- „**span space**” – jiný pohled na objemový soubor
 - geometrický prostor \mathbf{G} $G \subset \mathbb{R}^p$
 - prostor hodnot \mathbf{V} $V = \mathbb{R}$
 - množina vzorků \mathbf{D} $D = \{ [g_i, v_i] \} \quad [g_i, v_i] \in G \times V$
 - extrakce izoplochy $S(v) = \{ g_i \mid f(g_i) = v \}$
 - buňka \mathbf{c}_i a její vrcholy $c_i \in C \quad \dots \quad \{ v_j \}_i$
 - extrém v buňce $c_i \in C \quad \dots \quad \begin{aligned} a_i &= \min_j (f(v_j)) \\ b_i &= \max_j (f(v_j)) \end{aligned}$



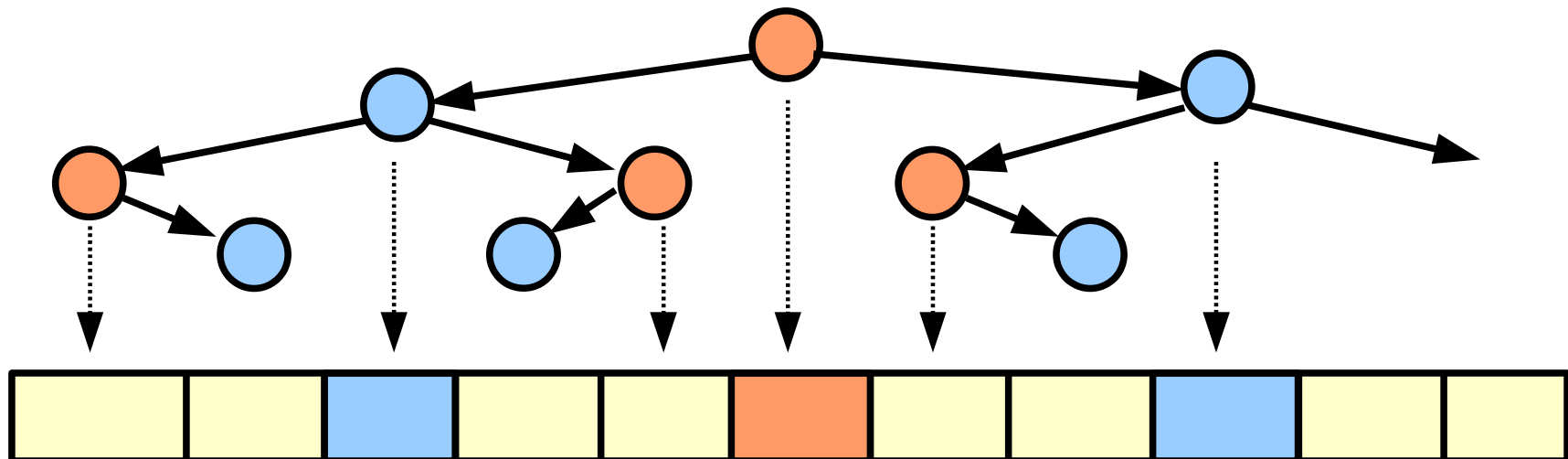
Intervalový strom

- ♦ každá buňka je reprezentována **trojicí** $[c_i, a_i, b_i]$
- ♦ buňky se mohou hierarchicky sdružovat do skupin
 - „**octree**“ – i skupiny obsahují min a max: $[a_i, b_i]$
- ♦ nebo se ukládají např. do **KD-stromu**
 - dělí se ve 2D podle $[a_i, b_i]$
jen polorovina: $a_i \leq b_i$



Implicitní KD-strom (bez ukazatelů)

- ♦ kompletně **vyvážený KD-strom** uložený v 1D poli
- ♦ ukazatel na potomka je implicitně daný
 - $i \rightarrow 2i, 2i+1$ (à la halda)
 - $h+i \rightarrow \lfloor h+i/2 \rfloor, \lfloor h+3i/2 \rfloor$ (uzly seříděné zleva-doprava, „cache-friendly“), musí být jednoznačně definováno zaokrouhlení





Literatura

- T. Elvins: *A Survey of Algorithms for Volume Visualization*, CG, August 1992, 194-201
- A. Ekoule et al.: *A Triangulation Algorithm from Arbitrary Shaped Multiple Planar Contours*, ACM TOG, April 1992, 182-199
- W. Lorensen, H. Cline: *Marching Cubes: A High Resolution 3D Surface Construction Algorithm*, CG, July 1987, 163-169
- J. Pelikán: *Raster Algorithms for Contours Extraction*, WSCG '92
- C. Hansen, C. Johnson: *The Visualization Handbook*, Elsevier 2005, pp. 39-82